

---

## ЭКСПЕРИМЕНТАЛЬНЫЕ СТАТЬИ

---

УДК 581.1,582.32

# ИЗМЕНЕНИЯ СОДЕРЖАНИЯ КАРОТИНОИДОВ В ПОБЕГАХ МХА *Hylocomium splendens* Hedw. В УСЛОВИЯХ ТЕМПЕРАТУРНОГО СТРЕССА

© 2023 г. А. Г. Ренкова<sup>a</sup>, \*, В. Р. Хабибрахманова<sup>a, b</sup>, О. П. Гурьянов<sup>a</sup>, Е. И. Галеева<sup>a</sup>,  
А. Б. Мазина<sup>a</sup>, Ф. В. Минибаева<sup>a</sup>

<sup>a</sup>Казанский институт биохимии и биофизики – обособленное структурное подразделение Федерального  
исследовательского центра “Казанский научный центр Российской академии наук”, Казань, Россия

<sup>b</sup>Федеральное государственное образовательное учреждение высшего образования  
“Казанский национальный исследовательский технологический университет”, Казань, Россия

\*e-mail: renkova@kibb.knc.ru

Поступила в редакцию 02.10.2023 г.

После доработки 15.10.2023 г.

Принята к публикации 15.10.2023 г.

Способность растений адаптироваться к неблагоприятным условиям существования является необходимым условием выживания растений, сохранения генотипа и поддержания разнообразия флоры. Перспективным подходом для решения проблемы повышения устойчивости растений является изучение механизмов стрессовой устойчивости “экстремофилов”, в том числе мхов – высших несосудистых растений. Относительная простота анатомического строения и способность к выживанию в неблагоприятных условиях среди делают эти эволюционно-древние растения идеальными моделями для изучения механизмов адаптации. Известно, что функциональная активность фотосинтетического аппарата способна динамично изменяться при действии стрессовых факторов. В настоящей работе было проведено исследование стресс-индуцированных изменений содержания каротиноидов в лесном мхе гилокомиум блестящий (*Hylocomium splendens* Hedw.) в условиях температурного стресса. Нами были идентифицированы основные каротиноиды мха *H. splendens*. Установлено, что относительное содержание лютеина, β-каротина и зеаксантина возрастало при действии отрицательной и повышенной температур, тогда как общее содержание каротиноидов при температурном стрессе снижалось. Показано, что 1 ч воздействия неблагоприятных температур приводил к достоверному снижению нефотохимического тушения флуоресценции хлорофилла *a*, причем более сильные изменения наблюдались при воздействии отрицательной температуры. Анализ уровня транскриптов *HsLUT1*, одного из ключевых генов биосинтеза лютеина, при температурном стрессе показал его достоверное увеличение в 4–5 раз. Таким образом, полученные нами данные позволили выявить, что изменения экспрессии гена биосинтеза каротиноидов сопровождаются изменениями их содержания при температурном стрессе. Полученные данные расширяют наше знание о механизмах устойчивости у мохообразных и будут способствовать пониманию эволюционных изменений стрессовой устойчивости высших растений.

**Ключевые слова:** *Hylocomium splendens*, абиотический стресс, каротиноиды, пигменты, фотосинтез

**DOI:** 10.31857/S0015330323601000, **EDN:** BELXXA

### ВВЕДЕНИЕ

Каротиноиды – это широко распространенные группы изопренOIDНЫХ пигментов, образующиеся в результате конденсации восьми изопренOIDНЫХ единиц. По наличию заместителей их подразделяют на две группы: простые углеводородные соединения – каротины и их окисленные

**Сокращения:** Вио – виолаксантин; ВКЦ – виолаксантиновый цикл; ДФПГ – 2,2-дифенил-1-пикрилгидразил; Зеа – зеаксантин; α-кар – α-каротин; β-кар – β-каротин; Лю – лютеин; Нео – неоксантины; ССК – светособирающие комплексы; ФСI, ФСII – фотосистема I и II; NPQ – нефотохимическое тушение флуоресценции хлорофилла.

производные – ксантофиллы, содержащие окси-, эпокси- и кетогруппы. Они синтезируются во всех фотосинтезирующих организмах, а также в некоторых нефотосинтезирующих бактериях и грибах. Согласно немногим данным, папоротники и мхи содержат, в основном, те же самые каротиноиды, что и высшие растения [1].

Биологическая активность каротиноидов определяется их высокой антиоксидантной активностью [2]. Каротиноиды являются активными поглотителями синглетного кислорода в растениях, что обуславливает их важную биологическую функцию – защиту клеточных компонентов, таких как

хлорофиллы, липиды, белки, ДНК и др., от окислительного повреждения. Каротиноиды синтезируются в тесной координации с хлорофиллами, и их состав консервативен у высших растений [3]. В зеленых тканях растений каротиноиды участвуют в механизмах фотозащиты и стабилизации фотосинтетического аппарата [4]. Известно, что ксантофилловый цикл, или виолаксантиновый цикл (ВКЦ), выполняет функцию защиты фотосинтетического аппарата от избытка энергии при повышенной инсоляции и повреждающего действия синглетного кислорода. Цикл включает в себя ферментативные взаимопревращения между виолаксантином (Вио) и зеаксантином (Зеа) (промежуточный продукт – антероксантин) [5, 6]. При этом главную фотопротекторную функцию выполняет Зеа, на который переносится энергия возбуждения хлорофилла и далее преобразуется в тепловую. Этот механизм известен как нефотохимическое тушение флуоресценции хлорофилла (NPQ) [7]. У каротиноидов выделяют и другие биологические функции, их накопление во многих цветках и плодах обеспечивает привлечение опылителей, способствует рассеиванию семян птицами. Наконец, каротиноиды служат предшественниками для синтеза растительных гормонов – абсцизовой кислоты (АБК) и стриголактонов, а также других апокаротиноидов, которые участвуют во многих процессах развития и стрессовых реакциях [8, 9]. В связи с важностью каротиноидов для физиологии, развития, экологии и эволюции растений, изучение их метаболизма и функций представляет значительный интерес.

Путь биосинтеза каротиноидов широко изучен на высших растениях, и почти все вовлеченные гены выделены и охарактеризованы [10, 11]. У высших растений некоторые гены биосинтеза каротиноидов являются избыточными, что позволяет предположить, что эти гены были дублированы и функционально разошлись в ходе эволюции растений.

В отличие от высших сосудистых растений, в литературе имеется мало информации о составе каротиноидов и их роли в стрессовой устойчивости у мохообразных, которые считаются эволюционно ранними наземными несосудистыми растениями. Для понимания эволюции биосинтеза каротиноидов в растениях изучение данного процесса у мохообразных является весьма актуальной задачей. Анализ литературы выявил наличие лишь единичных работ по исследованию состава каротиноидов и идентификации генов их биосинтеза у мохообразных, в частности, *Physcomitrium patens* и *Marchantia polymorpha* [12, 13]. Как и высшие сосудистые растения, побеги мхов содержат в качестве основных каротиноидов лютеин (Лют) и β-каротин (β-кар) [12]. Ранее нами был проведен анализ антиоксидантной активности органических экстрактов нескольких видов мхов –

*Dicranum scoparium*, *Pleurozium schreberi*, *Hylocomium splendens*, *Sphagnum magellanicum*. Было показано, что среди экстрактивных веществ именно каротиноиды обладают наибольшей антирадикальной активностью в отношении 2,2-дифенил-1-пикрилгидразила (ДФПГ). При этом самое высокое количество каротиноидов содержалось в экстракте мха *H. splendens* (неопубликованные данные). Несмотря на широкую распространность *H. splendens* в лесах Северного полушария и горных местностях, информация о стрессовой устойчивости данного бриофита отсутствует. В частности, остаются практически неизученными изменения каротиноидного состава этого мха в стрессовых условиях. На основании вышеизложенного, исследование изменения профиля каротиноидов и генов их биосинтеза малоизученного лесного мха *H. splendens* в условиях температурного стресса является актуальным и может дать недостающую информацию о роли каротиноидов в стрессовых ответах у мохообразных.

## МАТЕРИАЛЫ И МЕТОДЫ

**Объект исследования.** В качестве объекта исследования был использован мх *Hylocomium splendens* Hedw., собранный в лесах Айшинского лесничества Республики Татарстан ( $55^{\circ}53' 21.3''$  с.ш  $48^{\circ}38' 14.3''$  в.д) в мае 2022 г. После предварительной очистки сухие побеги мха хранились в контролируемых прохладных условиях в темноте. Основываясь на полученных ранее результатах по оценке фотосинтетической активности разных ярусов мха *H. splendens* на воздействие неблагоприятных температур [14], для анализа нами была использована верхняя часть побега (первые два яруса), в которой метаболические процессы идут интенсивнее, в т. ч. ответные реакции на стрессовые воздействия.

**Стressовая обработка.** Побеги мха *H. splendens* гидратировали дистиллированной водой в течение 24 ч при температуре  $10^{\circ}\text{C}$  в условиях темноты. Далее гидратированные образцы мха инкубировали в течение 1 ч в климатической камере с контролируемой отрицательной ( $-20^{\circ}\text{C}$ ) и повышенной ( $30^{\circ}\text{C}$ ) температурами. Для оценки стрессового ответа мха материал отбирали сразу же после воздействия неблагоприятных температур, а также через 1, 3, 5, 24 ч выдерживания мха при комнатной температуре после стрессового воздействия. Оводненность образцов мха определяли в каждой временной точке высушиванием до постоянного веса на анализаторе влажности АВГ-60 (“Госметр”, Россия).

**Анализ профиля каротиноидов.** Исследование состава и содержания каротиноидов проводили с помощью высокоэффективной жидкостной хроматографии (ВЭЖХ) на хроматографе LicArt 62 (“Лабконцепт”, Россия). Пробоподготовку и раз-

деление пигментов осуществляли согласно [15] с небольшими модификациями. Образец мха растирали в жидком азоте, из полученного порошка отбирали навеску массой 0.1 г и переносили в эппendorф, добавляли 0.5 мл ацетона. Для интенсификации извлечения каротиноидов смесь в эппendorфе подвергали обработке 5 мин ультразвуком (ванна ультразвуковая “Сапфир”, Россия), далее центрифugировали 5 мин при 10000 об/мин. Стадии экстрагирования повторяли до максимально полного извлечения пигментов из навески мха (5–6 стадий). Полученные экстракты объединяли и высушивали на роторном испарителе RV 8 (“IKA”, Германия). Для ВЭЖХ использовали: элюент А – ацетонитрил : метанол : вода (75 : 12 : 4), элюент В – метанол : этилацетат (68 : 32). Высушенные экстракты пигментов растворяли в 400 мкл элюента А, центрифугировали 5 мин при 10 000 об/мин, 20 мкл супернатанта отбирали и хроматографировали на колонке с обращенной фазой Inertsil ODS-3, 3 мкм, 4.6 × 100 мм (“GL Sciences”, Япония). Соединения хроматографировали при градиентном режиме со следующей последовательностью элюентов: 0 мин А – 100%; 0–15 мин А – 0% и В – 100%; 15–40 мин В – 100%. Скорость потока элюента 0.5 мл/мин. Температура хроматографирования составляла 25°C. Каротиноиды детектировали с помощью диодно-матричного детектора DAD-62 (“Лабконцепт”, Россия) при 440 нм. Управление работой хроматографа, прием и обработку полученных данных проводили с помощью специализированной компьютерной программы “LicArt WSV”.

Идентификацию каротиноидов в экстрактах мха осуществляли по электронным спектрам в области 300–700 нм [16, 17] и путем сопоставления с временами выхода стандартов каротиноидов – β-каротина и лютеина (“Sigma-Aldrich”, США, степень чистоты не менее 95%), хроматографируемых при аналогичных условиях.

**Анализ относительного уровня экспрессии генов.** Анализ экспрессии гена каротин ε-монооксигеназы (*HsLUT1*) осуществляли с помощью ПЦР в реальном времени (ПЦР-РВ). Тотальную РНК *H. splendens* выделяли с помощью набора RNeasy Plant Mini Kit (“Qiagen”, Германия), согласно инструкции производителя. Концентрацию и чистоту РНК оценивали на спектрофотометре NanoDrop® ND-1000 (“Thermo Scientific”, США), целостность проверяли с помощью электрофореза в 1% агарозном геле. Реакцию обратной транскрипции (ОТ-ПЦР) проводили на термоциклиере C1000 Touch™ (“Bio-Rad”, США) с набором MMLV RT (“Евроген”, Россия) в реакционном объеме 25 мкл по стандартному протоколу производителя. ПЦР-РВ проводили с использованием системы CFX Connect Real-Time PCR (“Bio-Rad”, США). Оценку уровня экспрессии гена *HsLUT1* осуществляли относительно референсных генов:

18S рРНК (18S), глицеральдегид-3-фосфатдегидрогеназа (*GAPDH2*), α-тубулина 1 (*TUB1*), α-тубулина 2 (*TUB2*) [18].

**Анализ фотосинтетических параметров.** Модулированную флуоресценцию хлорофилла *a* измеряли на базе системы PAM (от англ. Pulse Amplitude Modulation) при помощи флуориметра FMS1+ (“Hansatech Instruments”, Великобритания) со стандартной листовой клипсой с использованием красного светодиода. После периода темновой адаптации продолжительностью не менее 10 мин производили вспышку насыщающего света в 85 ед. продолжительностью 0.7 с (максимальная интенсивность до 13 000 мкмоль фотонов/м<sup>2</sup> с) и измеряли максимальную флуоресценцию ( $F_M$ ). После снижения уровня флуоресценции до исходного темнового значения ( $F_0$ ) включали непрерывный действующий свет с плотностью потока 105 мкмоль фотонов/м<sup>2</sup> с, и через 40 с включали второй насыщающий импульс для определения максимального выхода флуоресценции ( $F'_M$ ) в адаптированном к свету состоянии. По полученным значениям рассчитывали NPQ по формуле:

$$NPQ = \left( F_M - F'_M \right) / F'_M.$$

**Статистическая обработка данных.** Опыты проводили в 3–6 биологических повторностях и 3–14 аналитических повторностях. Полученные данные представлены в виде средних арифметических значений со стандартными ошибками (SE). Все экспериментальные данные имеют нормальное распределение признака. Для сравнения их средних арифметических значений использовали однофакторный дисперсионный анализ ANOVA с оценкой попарных различий с помощью критериев Тьюки, Бонферрони. Различия в экспрессии генов оценивали по нормализованной экспрессии ( $\Delta\Delta Cq$ ) в Bio-Rad CFX Maestro, достоверность анализировали с использованием ANOVA и по тесту на нормальность по Шапиро–Уилку.

## РЕЗУЛЬТАТЫ

### Состав и динамика изменений содержания каротиноидов в побегах мха в условиях температурного стресса

В настоящей работе проведено исчерпывающее экстрагирование и анализ состава и содержания каротиноидов из побегов мха *H. splendens*. Установлено, что в составе каротиноидов преобладают ксантофиллы (80–85%), среди которых основную долю занимает Лют (в среднем 46–50%) (табл. 1). Стоит отметить, что из ксантофиллов, входящих в ВКЦ, преобладает Вио, содержание которого почти в 4 раза выше содержания Зеа. Антероксанチン, являющийся промежуточным продуктом взаимопревращений Вио и Зеа в

**Таблица 1.** Состав и динамика изменения относительного содержания каротиноидов в побегах мха *H. splendens* в условиях температурного стресса.

Каротиноиды	Относительное содержание, % (расчет по площади пиков)					
	контроль	стрессовое воздействие	постстрессовый период после стрессового воздействия			
			1 ч	3 ч	5 ч	24 ч
–20°C						
н.и. 1	3.17 ± 0.01	2.46 ± 0.04***	3.55 ± 0.16	1.69 ± 0.10***	1.99 ± 0.22**	1.74 ± 0.04***
Нео	5.33 ± 0.01	6.30 ± 0.11***	5.38 ± 0.23	4.74 ± 0.08**	4.67 ± 0.09**	5.14 ± 0.12
Вио	12.4 ± 0.01	3.34 ± 0.06***	5.94 ± 0.16***	5.08 ± 0.37***	4.81 ± 0.11***	2.97 ± 0.20***
Лют	50.5 ± 0.02	52.5 ± 0.78	53.6 ± 0.07***	51.8 ± 0.13***	51.9 ± 0.45*	54.5 ± 0.08***
Зеа	2.78 ± 0.08	5.25 ± 0.09***	5.51 ± 0.13***	4.76 ± 0.11***	4.91 ± 0.1***	5.16 ± 0.39**
н.и. 2	2.85 ± 0.04	4.09 ± 0.03***	4.53 ± 0.01***	4.15 ± 0.01***	4.14 ± 0.02***	4.33 ± 0.17***
н.и. 3	3.25 ± 0.02	3.94 ± 0.07***	4.03 ± 0.02***	4.16 ± 0.00***	4.08 ± 0.01***	4.20 ± 0.02***
α-кар	1.16 ± 0.01	1.27 ± 0.02**	1.58 ± 0.02***	1.10 ± 0.04	1.00 ± 0.03**	0.94 ± 0.01***
β-кар	18.3 ± 0.02	20.6 ± 0.37**	15.9 ± 0.40**	22.5 ± 0.46***	22.9 ± 0.06***	20.9 ± 0.20***
Общее содержание	100	76.0 ± 0.1***	78.9 ± 0.7***	51.2 ± 0.5***	42.2 ± 2.5***	44.9 ± 1.1***
30°C						
н.и. 1	6.96 ± 0.02	3.73 ± 0.07***	4.48 ± 0.11***	3.47 ± 0.31***	3.21 ± 0.08***	4.86 ± 0.07***
Нео	6.03 ± 0.36	5.22 ± 0.18	5.23 ± 0.01	5.16 ± 0.34	5.04 ± 0.04*	5.08 ± 0.09*
Вио	11.7 ± 0.09	6.16 ± 0.25***	6.34 ± 0.51***	5.67 ± 0.78***	5.40 ± 0.10***	4.45 ± 0.66***
Лют	46.4 ± 0.10	52.2 ± 0.85**	50.9 ± 1.21*	50.5 ± 0.82**	51.1 ± 0.43***	51.3 ± 0.98**
Зеа	3.93 ± 0.36	5.94 ± 0.27	5.38 ± 0.03	5.61 ± 0.07	5.63 ± 0.20	7.24 ± 0.05*
н.и. 2	3.72 ± 0.09	4.27 ± 0.04**	4.27 ± 0.06**	4.25 ± 0.01**	4.24 ± 0.05**	4.33 ± 0.01**
н.и. 3	3.27 ± 0.02	3.60 ± 0.03***	3.58 ± 0.05**	3.70 ± 0.08**	3.89 ± 0.01***	3.32 ± 0.18
α-кар	1.38 ± 0.04	1.11 ± 0.04**	1.30 ± 0.01	1.29 ± 0.04	1.23 ± 0.09	1.30 ± 0.10
β-кар	14.6 ± 0.57	17.8 ± 0.35**	18.5 ± 0.92*	20.3 ± 0.04***	20.2 ± 0.05***	17.9 ± 0.27**
Общее содержание	100	58.3 ± 1.1***	59.2 ± 1.2***	32.5 ± 1.2***	46.2 ± 0.1***	36.8 ± 1.7***

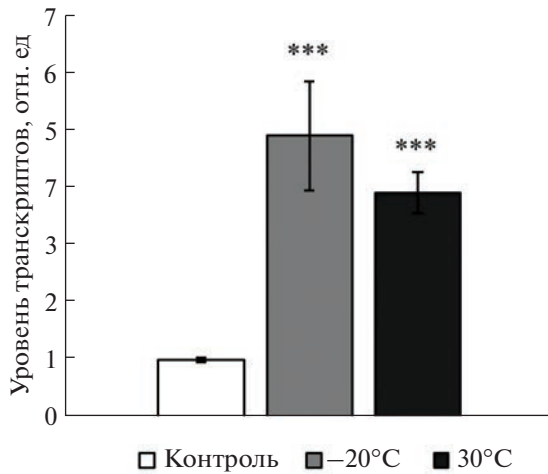
Примечание. Нео – неоксантин; Вио – виолаксантин; Лют – лютеин; Зеа – зеаксантин; α-кар – α-каротин; β-кар – β-каротин; н. и. – не идентифицированный каротиноид. В таблице представлены средние арифметические значения и стандартные ошибки (SE) при  $n = 3$ . Достоверность различий определяли с помощью однофакторного дисперсионного анализа ANOVA при  $P < 0.05$  (\*);  $P < 0.01$  (\*\*);  $P < 0.001$  (\*\*\*)

ВКЦ, не детектировался с помощью ВЭЖХ, что, вероятно, свидетельствует об очень низком содержании этого ксантофилла в общем пуле каротиноидов мха *H. splendens*. Среди каротинов наибольшую долю занимает β-кар (15–18%). Три каротиноида, обнаруженных в экстракте мха, идентифицировать не удалось. При этом два из них (н.и. 2 и н.и. 3) по времени выхода и максимумам поглощения на электронных спектрах [16, 17] могут быть отнесены к α-криптоксантину и β-криптоксантину, соответственно. Содержание этих каротинов в побегах мха сопоставимо (табл. 1).

При воздействии неблагоприятных температур состав каротиноидов мха *H. splendens* сохранялся, однако их суммарное количество снижалось в среднем на 25–40% (табл. 1). Среди каротиноидов достоверно снижалась доля Вио, в среднем в 4 и 2 раза при воздействии отрицательной ( $-20^{\circ}\text{C}$ ) и повышенной ( $30^{\circ}\text{C}$ ) температуры, соответственно.

В условиях температурного стресса увеличивалось содержание Зеа и β-кар примерно на 2% и 3%, соответственно. Содержание Лют достоверно увеличивалось только при воздействии повышенной ( $30^{\circ}\text{C}$ ) температуры.

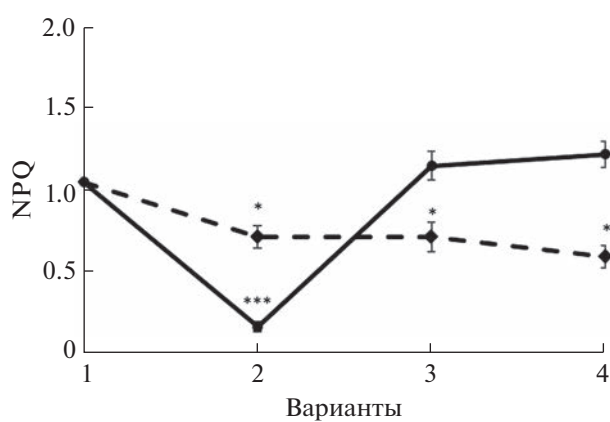
Установлено, что через 1 ч после выдерживания при комнатной температуре в побегах мха, подвергнутых воздействию отрицательной ( $-20^{\circ}\text{C}$ ) температуры, наблюдается падение доли β-кар в 1.3 раза, но увеличивается в 1.8 раза содержание Вио. В последующий постстрессовый период в течение 24 ч общее содержание каротиноидов в побегах мха *H. splendens* падало почти в 2 раза по сравнению с контролем (табл. 1). При этом уже через 3 ч восстановления побегов мха после температурного стресса содержание β-кар возрастило примерно на 6.5% по сравнению с побегами, подвергнутыми холодовой обработке, и на 4% по сравнению с контролем. Содержание Лют в побе-



**Рис. 1.** Уровень транскриптов гена *HsLUT1* в *H. splendens* при действии низкой отрицательной и положительной температур. Уровень транскриптов контрольных вариантов принят за единицу. Три звездочки представляют значительную разницу при  $P \leq 0.001$ .

живаемого в побегах сразу же после стрессовой обработки (табл. 1).

Обработка побегов мха *H. splendens* повышенной температурой, так же, как и при воздействии отрицательной температуры, приводила к заметному снижению содержания каротиноидов, их количество уменьшалось почти в 3 раза по сравнению с контролем (табл. 1). При этом заметных изменений в содержании основных каротиноидов – Лют и  $\beta$ -кар не наблюдалось. Достоверно увеличивалось содержание Зеа, через 24 ч в последующий постстрессовый период его количество было выше на 1.3% по сравнению с побегами, подвергнутыми обработке, и на 3.3% по сравнению с контролем. Снижение содержание Вио, обусловленное температурным стрессом, наблюдалось и в постстрессовый период. Через 24 ч выдерживания мха при оптимальной температуре его количество было на 1.7% меньше, по сравнению с его уровнем в побегах мха сразу же после воздействия повышенной температуры (табл. 1).



**Рис. 2.** Нефотохимическое тушение (NPQ) в побегах мха *H. splendens* при действии неблагоприятных температур:  $-20^{\circ}\text{C}$  (сплошная линия) и  $30^{\circ}\text{C}$  (штриховая линия). 1 – контроль; 2 – стрессовое воздействие; 3 – 1 ч постстрессового периода после стрессового воздействия; 4 – 24 ч постстрессового периода после стрессового воздействия. На рисунке представлены средние арифметические значения и стандартные ошибки (SE) при  $n = 14$ . Достоверность различий определяли с помощью однофакторного дисперсионного анализа (ANOVA) при  $P < 0.05$  (\*);  $P < 0.001$  (\*\*\*)

гах мха достоверно увеличивалось только к 24 ч в последующий постстрессовый период после воздействия отрицательной температуры: на 2% по сравнению с побегами, подвергнутыми холодовой обработке, и на 4% по сравнению с контролем. Содержание Вио в побегах мха постепенно снижалось, и через 24 ч после стрессового воздействия его количество падало до уровня, обнару-

#### Экспрессия гена биосинтеза лютеина *HsLUT1* в побегах мха *H. splendens* в условиях температурного стресса

Ранее нами были клонированы и секвенированы десять генов биосинтеза каротиноидов мха *H. splendens* [18]. В настоящей работе мы проанализировали изменение относительного уровня транскриптов основного гена биосинтеза лютеина *HsLUT1* при действии низкой отрицательной ( $-20^{\circ}\text{C}$ ) и положительной ( $30^{\circ}\text{C}$ ) температур (рис. 1). Так, достоверное 5-кратное увеличение относительного уровня транскриптов *HsLUT1* наблюдалось при действии  $-20^{\circ}\text{C}$  в течение 1 ч. При действии  $30^{\circ}\text{C}$  также происходило достоверное повышение относительного уровня транскриптов *HsLUT1*, но в меньшей степени, в 4 раза.

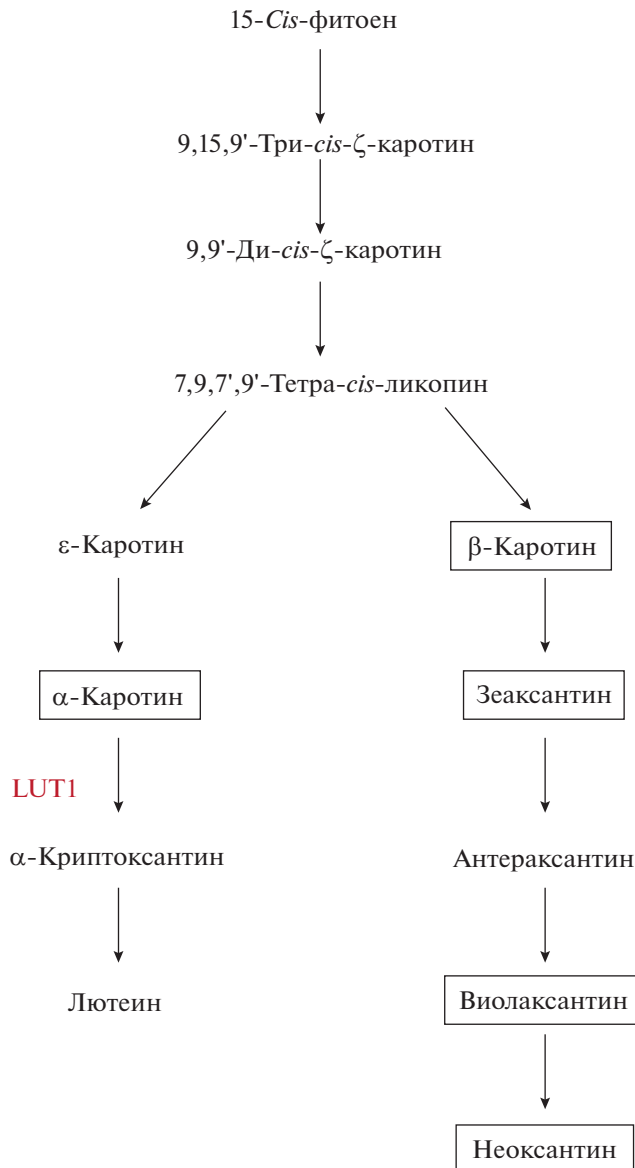
#### Изменения фотосинтетических параметров в побегах мха *H. splendens* в условиях температурного стресса

Было показано, что 1 ч воздействие неблагоприятных температур приводило к достоверному снижению NPQ, причем более сильные изменения наблюдались при воздействии отрицательной температуры (рис. 2). Разнонаправленные изменения NPQ наблюдались в постстрессовый период. Так, через 1 ч выдерживания мха при оптимальной температуре после воздействия отрицательной температуры уровень NPQ повышался в 8 раз, восстанавливаясь до контрольного уровня, а при воздействии повышенной температуры он практически не изменялся. В последующем через 24 ч постстрессового периода после воздействия обеих неблагоприятных температур значения NPQ существенно не изменялись (рис. 2).

## ОБСУЖДЕНИЕ

В течение своего жизненного цикла растения испытывают воздействие различных видов стрессовых воздействий, таких как засуха, засоление и высокая температура. Знание о механизмах чувствительности и/или устойчивости видов растений к изменяющимся условиям внешней среды является необходимым условием для обеспечения выживания растений, сохранения их генотипа и поддержания разнообразия флоры. Растения выработали различные механизмы устойчивости к стрессу, включая регуляцию фотосинтеза; детоксикацию активных форм кислорода (АФК) за счет усиления активации антиоксидантных ферментов и накопления низкомолекулярных антиоксидантов; а также накопления вторичных метаболитов, в частности, каротиноидов [19]. Согласно современным представлениям, основными биологическими функциями каротиноидов являются светособирающая, антиоксидантная, фотопротекторная и структурная функции [19, 20]. Многочисленными исследованиями доказано, что уровень каротиноидов в растениях может быть связан со стрессовой устойчивостью. Например, устойчивость к солнечному стрессу у бобов тесно коррелирует с устойчивым уровнем каротиноидов, а сахарный тростник повышает свою солнечную устойчивость за счет снижения содержания хлорофилла и стабильного уровня каротиноидов [19]. При произрастании живучки ползучей в открытых местообитаниях, и соответственно, в условиях высокой инсоляции, адаптивными реакциями в растениях являются уменьшение содержания хлорофиллов в листьях и светособирающих комплексов (ССК) фотосистем, активирование конверсии пигментов в ВКЦ с накоплением Зеа (депоксидации подвергалось до 80% пула Вио) [6]. В работе Arroll-Crespo с соавт. идентифицирован состав каротиноидов мха *H. splendens* и показаны изменения в их содержании при воздействии УФ-Б облучения [21]. К сожалению, в литературе имеется крайне ограниченная информация об изменениях пула каротиноидов в растениях при действии неблагоприятных температур. В связи с этим основной целью настоящей работы была оценка изменений профиля каротиноидов в побегах мха *H. splendens* при воздействии неблагоприятных температур. Состав каротиноидов мха *H. splendens* соответствует имеющимся литературным данным [21], за исключением Ант, не детектируемым в экстрактах мха. Можно полагать, что содержание этого ксантофилла во мхе очень мало. Основными каротиноидами являются Лют и  $\beta$ -кар. Дополнительно в составе каротиноидов мха показано наличие  $\alpha$ -кар, на долю которого приходится в среднем 1%. Три каротиноида, обнаруженные в экстракте мха, точно идентифицировать не удалось, однако, основываясь на литературных данных [16, 17], каротиноиды (н.и. 2 и н.и. 3) могут

быть отнесены к  $\alpha$ -криптоксантину и  $\beta$ -криптоксантину, соответственно. Показано, что воздействие обеих неблагоприятных температур вызывает существенное снижение общего содержания каротиноидов. При этом анализ индивидуальных каротиноидов позволил установить, что именно содержание Вио резко падает при стрессовой обработке, и даже через 24 ч выдерживания мха при оптимальной температуре после воздействия его уровень не восстанавливается до контрольного уровня, а, напротив, становится еще меньше (табл. 1). Общим изменением в профиле каротиноидов мха *H. splendens* при воздействии обеих неблагоприятных температур является увеличение содержания Лют, Зеа и  $\beta$ -кар, наблюдаемое непосредственно после стрессовой обработки и в постстрессовом периоде (через 24 ч). На рис. 3 представлена схема пути биосинтеза каротиноидов у растений. Типичные каротиноиды (тетраптерпены) синтезируются из первого каротиноидного фитоена, который образуется в результате конденсации двух молекул геранилгеранилдиfosfата. Как видно из схемы биосинтеза каротиноидов, Лют образуется из  $\alpha$ -кар. Содержание этого ксантофилла наибольшее в фотосинтетическом аппарате высших растений. Он выполняет такие важные функции, как стабилизация структуры антенных белков, светособирающая и фотопротекторная функции [6, 7]. Увеличение содержания Лют в побегах мха при действии неблагоприятных температур (табл. 1) коррелирует с данными [23], где показано, что при низких положительных температурах в связи с ростом вероятности образования АФК в ССК фотосинтетического аппарата наблюдается накопление Лют, выполняющего в этом случае функцию антиоксиданта. В связи с тем, что Лют является преобладающим каротиноидом мха *H. splendens*, представлялось целесообразным проанализировать изменения экспрессии гена его биосинтеза в ответ на действие неблагоприятных температур. Основным ферментом биосинтеза лютеина является каротин  $\epsilon$ -монооксигеназа – CYP97C1 или LUT1 [24]. Это фермент, катализирующий стереоспецифическую реакцию, является представителем семейства 97 цитохрома P450 – наиболее древних растительных P450. Ранее сообщалось, что в стареющих листьях *A. thaliana* экспрессия AtCYP97C1 значительно снижалась, что сопровождалось снижением содержания каротиноидов  $\alpha$ -каротиновой ветви путем биосинтеза [25]. В наших экспериментах показано, что экспрессия HsLUT1 при действии отрицательной и положительной температур увеличивается в 5 и 4 раза, соответственно (рис. 1), что согласуется с данными по стресс-индуцированному увеличению содержания каротиноидов  $\alpha$ -каротиновой ветви путем биосинтеза ( $\alpha$ -кар и Лют) (табл. 1). Таким образом, можно полагать, что HsLUT1 вовлечен в реакции мха



**Рис. 3.** Схема путей биосинтеза каротиноидов у растений. Прямоугольником показаны метаболиты, которые количественно были определены в данном исследовании. Показан фермент LUT1 – каротин ε-монооксигеназа, анализ гена которого проводился в данном исследовании.

*H. splendens* на температурный стресс. При гидроксилировании β-кар образуется Зеа, ключевой участник ВКЦ. Поскольку в общей сумме каротиноидов мха увеличивается содержание β-кар и Зеа, можно предположить, что в условиях температурного стресса активируется биосинтез непосредственно β-кар, тогда как прирост Зеа, по-видимому, обусловлен степенью деэпоксидации Вио. Действительно, его содержание резко падает, как при действии отрицательной, так и повышенной температур (табл.1). Повышение уровня β-кар в побегах мха, обладающего высокими антиоксидантными свойствами, может обеспечивать защиту мембран, ДНК и других клеточных структур от окислительного повреждения, вызванного воздействием неблагоприятных температур. Кроме того, β-кар, входящий в структуру реакционных центров фотосистемы I и II (ФСI и ФСII), может способствовать сохранению этих комплексов [20]. Не менее важным является повышение уровня Зеа в побегах мха (табл. 1). Известно, что он играет роль антиоксиданта и стабилизатора структуры мембран, участвуя в детоксикации АФК и подавляя перекисное окисление липидов [7]. Надо отметить, что Зеа играет ключевую роль в защите ФСII от фотоингибирования вследствие увеличения теплового рассеивания той части энергии, которая не используется для фотосинтетического электронного транспорта. Обычно увеличение пула Зеа при стрессовых воздействиях находится в прямой зависимости с показателем NPQ [7]. В наших экспериментах, несмотря на увеличение содержания Зеа, показатель NPQ существенно падает, причем более выраженно при воздействии отрицательной температуры. Далее, в постстрессовый период после воздействия отрицательной температуры, он восстанавливается до контрольного уровня, а после воздействия повышенной температуры уровень NPQ не изменяется (рис. 2). Объяснить наблюдаемый эффект сложно, можно только предположить, что повышение уровня каротиноидов в условиях температурного стресса, главным образом, обусловлено необходимостью “тушить” синглетный кислород. Известно, что Зеа играет важную роль в стрессовой устойчивости растений к холода. Например, в работе Tang с соавт. было показано, что предварительная обработка Зеа повышает устойчивость проростков перца к холода, снижает повреждение листьев от охлаждения, увеличивает биомассу растений и содержание фотосинтетических пигментов в условиях холодового стресса. Было также установлено, что экзогенный Зеа повышает устойчивость к холода, индуцируя накопление эндогенного Зеа [26]. Таким образом, было выявлено, что изменения экспрессии гена *HsLUT1* при температурном стрессе сопровождаются изменениями содержания каротиноидов. Полученные приоритетные данные расширяют наше знание о механизмах устойчивости у мохообразных и будут способствовать пониманию эволюционных изменений стрессовой устойчивости высших растений. Авторы А.Г. Ренкова и В. Р. Хабибрахманова внесли одинаковый вклад в данную работу. Работа выполнена при финансовой поддержке гранта Российской научного фонда (№ 22-24-00595). Настоящая статья не содержит каких-либо исследований с участием людей и животных в качестве объектов. Авторы заявляют об отсутствии конфликта интересов.

ФИЗИОЛОГИЯ РАСТЕНИЙ том 70 № 7 2023

## СПИСОК ЛИТЕРАТУРЫ

1. *Sabovljevic M., Bijelovic A., Grubisic D.* Bryophytes as a potential source of medicinal compounds // *Med Raw.* 2001. V. 21. P. 17.
2. *Krinsky N.I.* Antioxidant function of carotenoids // *Free Radical Biol. Med.* 1989. V. 7. P. 617. [https://doi.org/10.1016/0891-5849\(89\)90143-3](https://doi.org/10.1016/0891-5849(89)90143-3)
3. *Meier S., Tzfadia O., Vallabhaneni R., Gehring C., Wurtzel E.T.* A transcriptional analysis of carotenoid, chlorophyll and plastidial isoprenoid biosynthesis genes during development and osmotic stress responses in *Arabidopsis thaliana* // *BMC Syst. Biol.* 2011. V. 5. P. 77. <https://doi.org/10.1186/1752-0509-5-77>
4. *Hashimoto H., Uragami C., Cogdell R.J.* "Carotenoids and photosynthesis," in *Carotenoids in Nature*. Springer: Cham, Switzerland, 2016. P. 111.
5. *Falkowski P.G., Raven J.A.* Aquatic photosynthesis. Malden. USA: Blackwell Sci., 1997. 375 p.
6. *Дымова О.В., Захожий И.Г., Головко Т.К.* Возрастные и адаптивные изменения фотосинтетического аппарата листьев зимне-зеленого травянистого растения *Ajuga Reptans L.* в природных условиях таежной зоны // *Физиология растений*. 2023. Т. 70. С. 577.
7. *Demming-Adams B., Garab G., William Adams III, Govindjee.* Non-photochemical quenching and energy dissipation in plants, algae and cyanobacteria. Springer Dordrec, 2014. <https://doi.org/10.1007/978-94-017-9032-1>
8. *Hou X., Rivers J., León P., McQuinn R.P., Pogson B.J.* Synthesis and function of apocarotenoid signals in plants // *Trends Plant Sci.* 2016. V. 21. P. 792. <https://doi.org/10.1016/j.tplants.2016.06.001>
9. *Jia K., Baz L., Al-Babili S.* From carotenoids to strigolactones // *J. Exp. Bot.* 2017. V. 69. P. 2189. <https://doi.org/10.1093/jxb/erx476>
10. *Chaundhary N., Nijhawan A., Khurana J.P., Khurana P.* Carotenoid biosynthesis genes in rice: structural analysis, genomewide expression profiling and phylogenetic analysis // *Mol. Genet. Genomics.* 2010. V. 283. P. 13.
11. *Ruiz-Sola M.A., Rodríguez-Concepción M.* Carotenoid biosynthesis in *Arabidopsis*: a colorful pathway. *Arabidopsis Book* 10: e0158. 2012. <https://doi.org/10.1199/tab.0158>
12. *Takemura M., Maoka T., Misawa N.* Carotenoid analysis of a liverwort *Marchantia polymorpha* and functional identification of its lycopene b- and e-cyclase genes // *Plant Cell Physiol.* 2014. V. 55. P. 194. <https://doi.org/10.1093/pcp/pct170>
13. *He J., Li P., Huo H., Liu L., Tang T., He M., Huang J., Liu L.* Heterologous expression of HpBHY and CrBKT increases heat tolerance in *Physcomitrella patens* // *Plant Diversity.* 2019. V. 41. P. 266. <https://doi.org/10.1016/j.pld.2019.04.001>
14. *Часов А.В., Минибаева Ф.В.* Фотосинтетический аппарат мха гилокомиума блестящего устойчив к низким экстремальным температурам // *Экология*. 2023. №6. (в печати).
15. *Дымова О.В., Кузиванова О.А.* Оптимизация способа экстракции фотосинтетических пигментов и их содержание в талломах лишайников // Химия растительного сырья. 2018. № 2. С. 137. <https://doi.org/10.14258/jcprm.2018023013>
16. *Jiao Y., Reuss L., Wang Y.*  $\beta$ -Cryptoanthin: chemistry, occurrence, and potential health benefits // *Curr. Pharmacol.* 2019. V. 5. P. 20. <https://doi.org/10.1007/s40495-019-00168-7>
17. *Gama J.J.T., Sylos C.M.* Major carotenoid composition of Brazilian Valencia orange juice: identification and quantification by HPLC // *Food Res. Intern.* 2005. V. 38. P. 899. <https://doi.org/10.1016/j.foodres.2005.03.008>
18. *Renkova A.G., Koulintchenko M.V., Mazina A.B., Leksin I.Y., Mintabayeva F.V.* Identification, characterization, and expression analysis of carotenoid biosynthesis genes in the moss *Hylocomium splendens* // *Theor. Exp. Plant Physiol.* 2023. (в печати).
19. *Wahid A., Ghazanfar A.* Possible involvement of some secondary metabolites in salt tolerance of sugarcane // *J. Plant Physiol.* 2006. V. 163. P. 723. <https://doi.org/10.1016/j.jplph.2005.07.007>
20. *Swapnil P., Meena M., Singh S.K., Dhuldhaj U., Harish Marwal A.* Vital roles of carotenoids in plants and humans to deteriorate stress with its structure, biosynthesis, metabolic engineering and functional aspects // *Curr. Plant Biol.* 2021. V. 26. P. 100203. <https://doi.org/10.1016/j.cpb.2021.100203>
21. *Arróniz-Crespo M., Gwynn-Jones D., Callaghan T.V., Núñez-Olivera E., Martínez-Abaigar J., Horton P., Phoenix G. K.* Impacts of long-term enhanced UV-B radiation on bryophytes in two sub-Arctic heathland sites of contrasting water availability // *Ann. Bot.* 2011. V. 108. P. 557. <https://doi.org/10.1093/aob/mcr178>
22. *Huang J., Zhong Y., Liu J., Sandmann G., Chen F.* Metabolic engineering of tomato for high-yield production of astaxanthin // *Metab. Eng.* 2013. V. 17. P. 59. <https://doi.org/10.1016/j.ymben.2013.02.005>
23. *Popova A.V., Dobrev K., Velitchkova M., Ivanov A.G.* Differential temperature effects on dissipation of excess light energy and energy portioning in *lut2* mutant of *Arabidopsis thaliana* under photoinhibitory conditions // *Photosyn. Res.* 2019. V. 139. P. 367. <https://doi.org/10.1007/s11120-018-0511-2>
24. *Tian L., Della Penna D.* Progress in understanding the origin and functions of carotenoid hydroxylases in plants LUT1 // *Arch Biochem. Biophys.* 2004. V. 430. P. 22. <https://doi.org/10.1016/j.abb.2004.02.003>
25. *Breeze E., Harrison E., Mcchattie S., Hughe, L., Hickman R., Hill C.* High-breeze resolution temporal profiling of transcripts during *Arabidopsis* leaf senescence reveals a distinct chronology of processes and regulation // *Plant Cell.* 2011. V. 23. P. 873. <https://doi.org/10.1105/tpc.111.083345>
26. *Tang C., Xie J., Ly J., Li J., Zhang J., Wang C., Liang G.* Alleviating damage of photosystem and oxidative stress from chilling stress with exogenous zeaxanthin in pepper (*Capsicum annuum* L.) seedlings // *Plant Physiol. Biochem.* 2021. V. 163. P. 395. <https://doi.org/10.1016/j.plaphy.2021.03.010>